

BIOQUÍMICA DEL MÚSCULO

Cambios post mortem.

*Procesos bioquímicos que ocurren durante la
maduración de la carne.*

Influencia sobre la calidad final de producto.

Dra. Adriana Pazos

Instituto Tecnología de Alimentos (ITA)

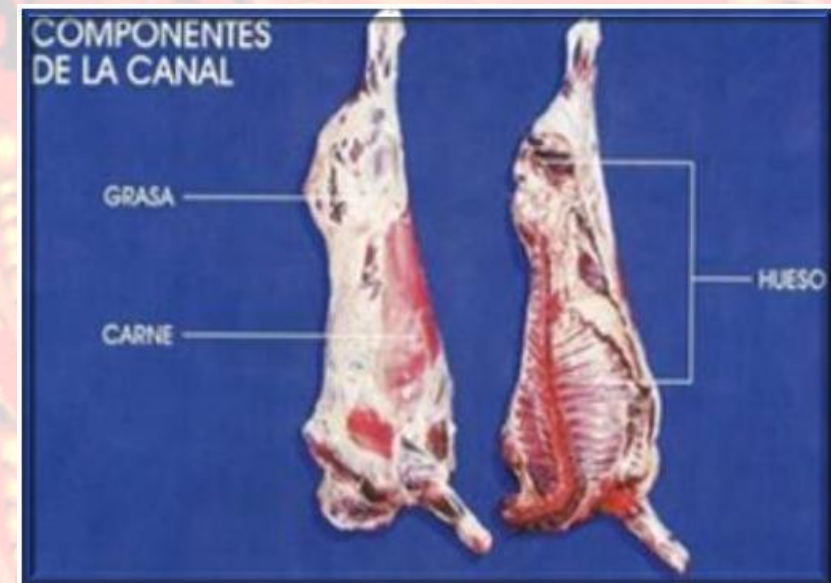
INTA

Curso Anual IPCVA –11 de Noviembre de 2009

Envases en la Industria de la Carne Vacuna: Fundamentos y Aplicaciones

Tejidos de la canal

- *muscular* - mayoritario
- *adiposo*
- *óseo* (13 – 18% p/p)

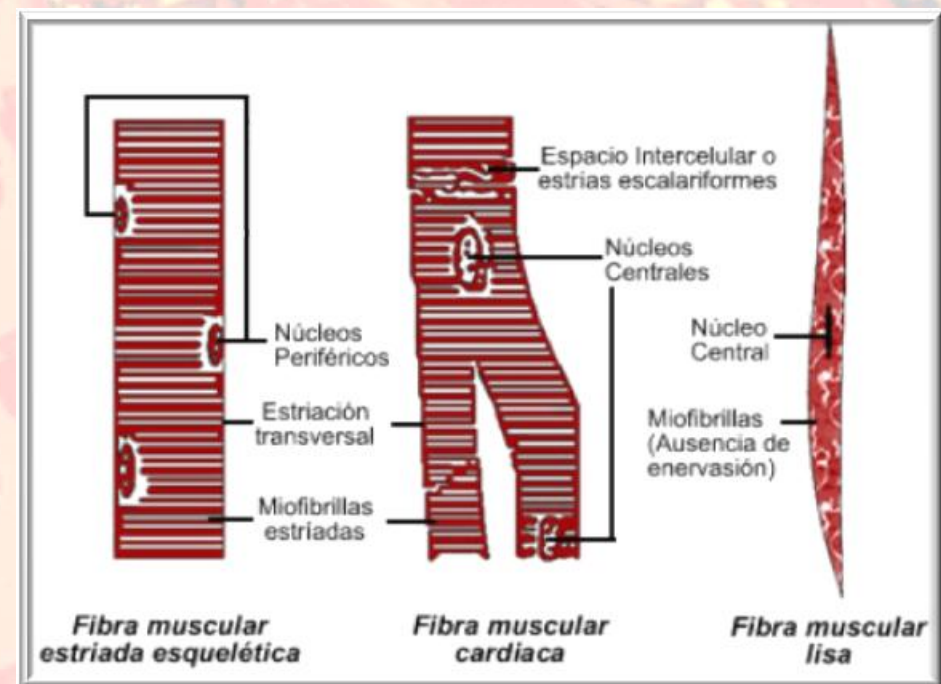


Músculo

capacidad para contraerse, en respuesta a un estímulo nervioso.

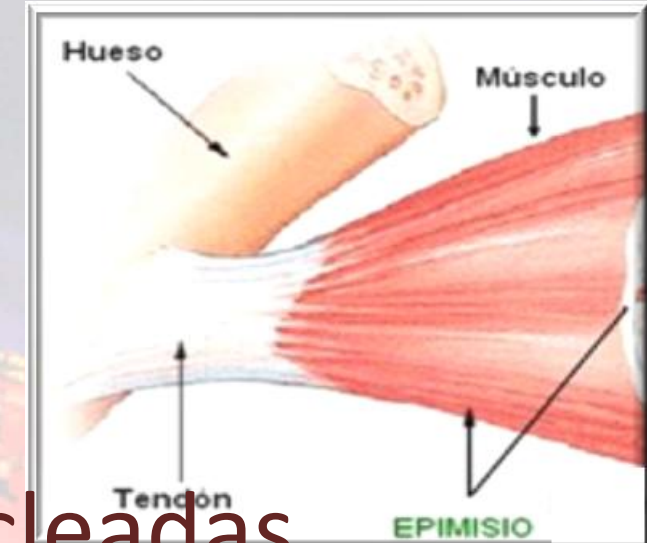
tejido muscular:

- *liso*
- *cardíaco*
- *esquelético*

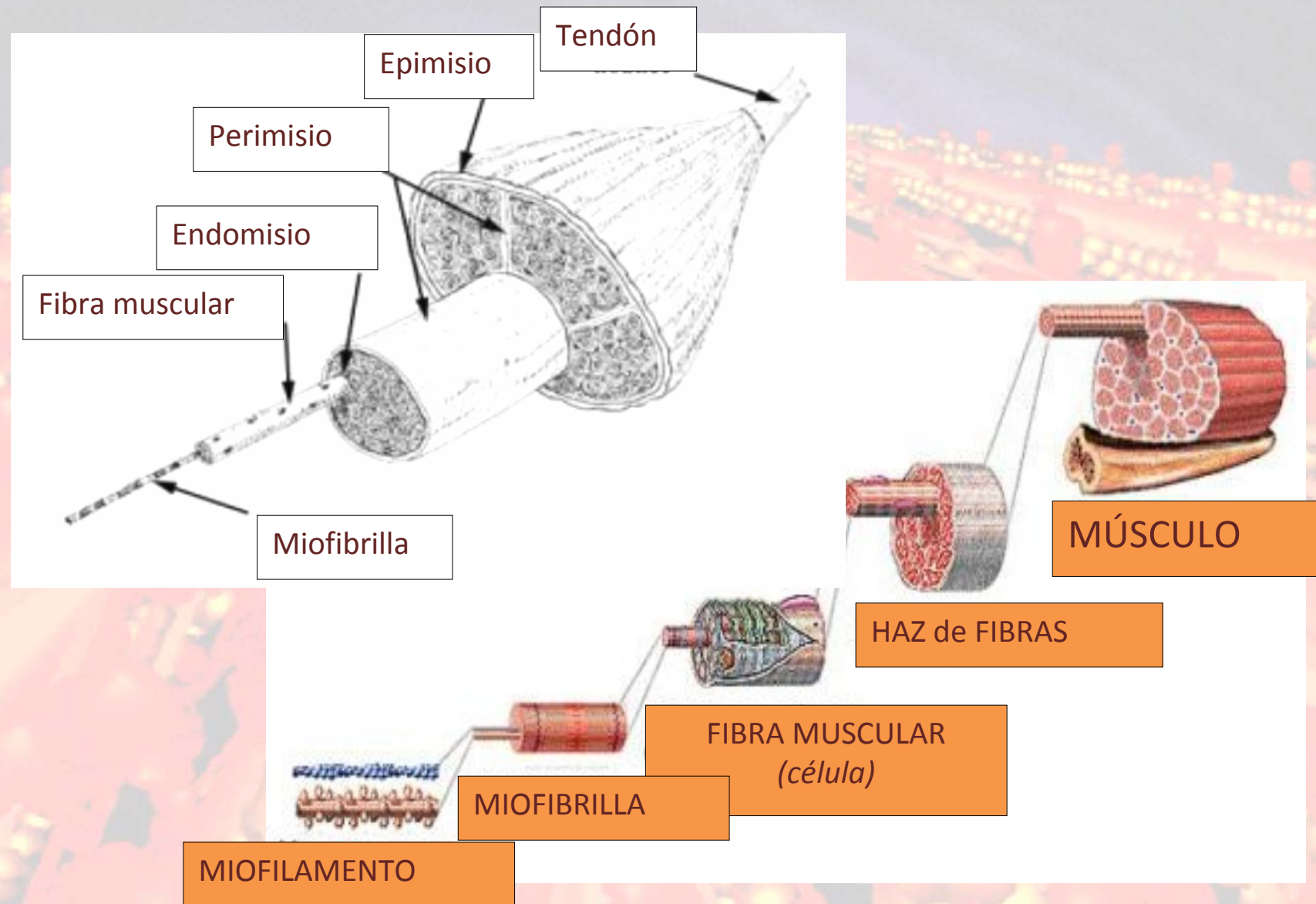


Músculo esquelético

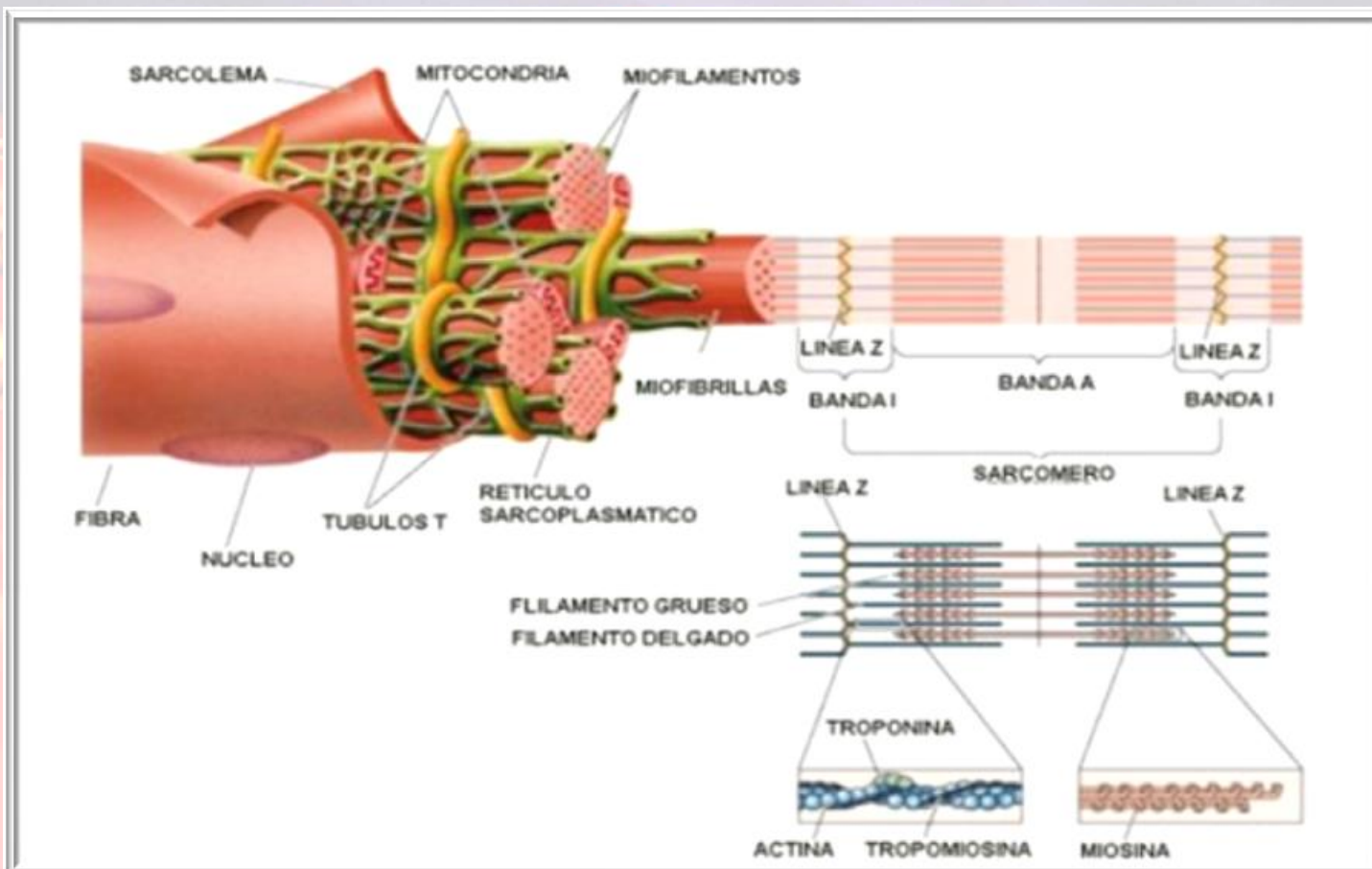
- Fibras largas multinucleadas
- Inervado a partir del SNC
- Unido a huesos por tendones
- Contracciones - huesos y cartílagos
- Mayoría de la masa corporal de los vertebrados



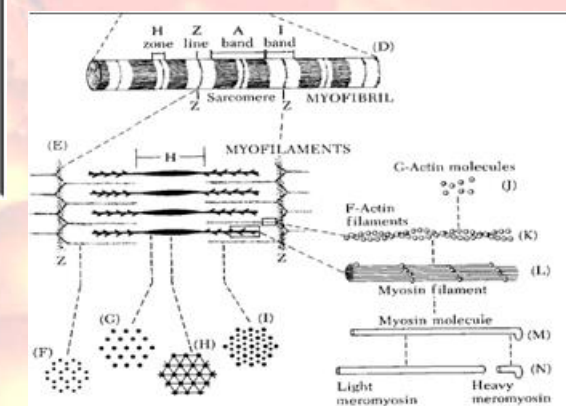
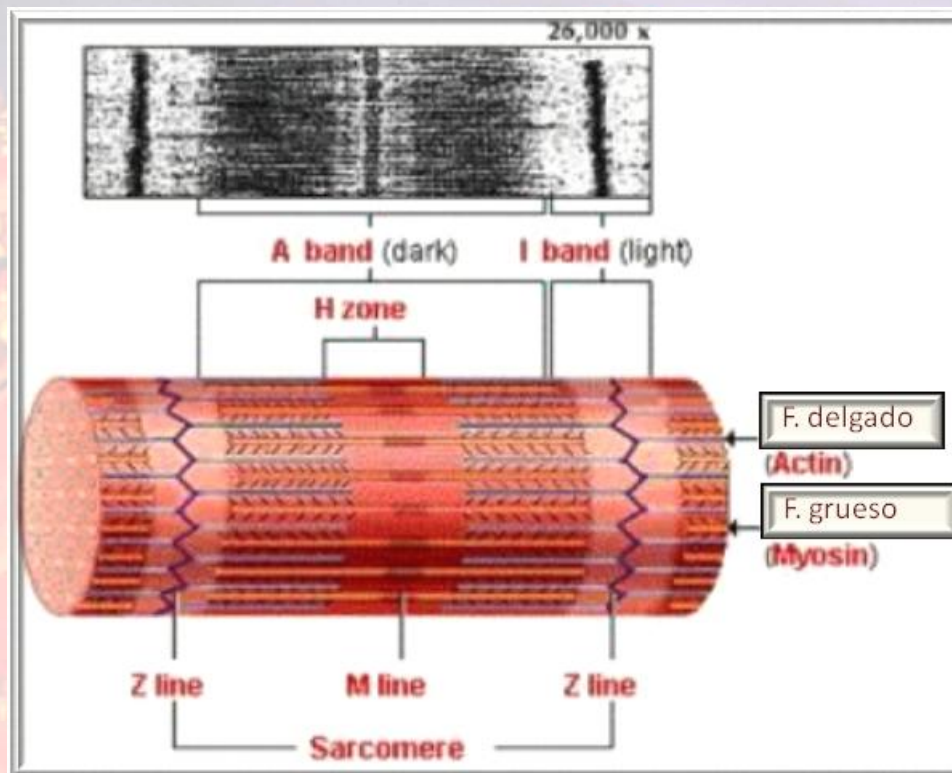
Estructura del músculo esquelético



Fibra muscular



Ultra-estructura de la miofibrilla



Composición química del músculo

- AGUA 68-75%

- PROTEÍNAS 18-25%

- LÍPIDOS 4-12%

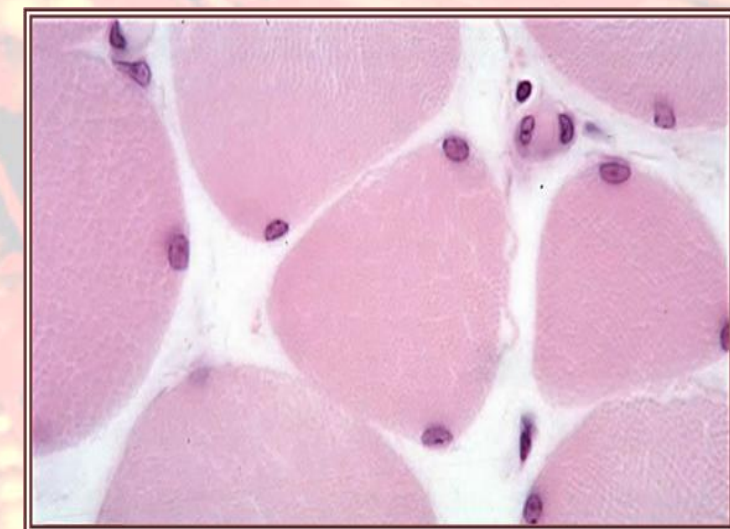
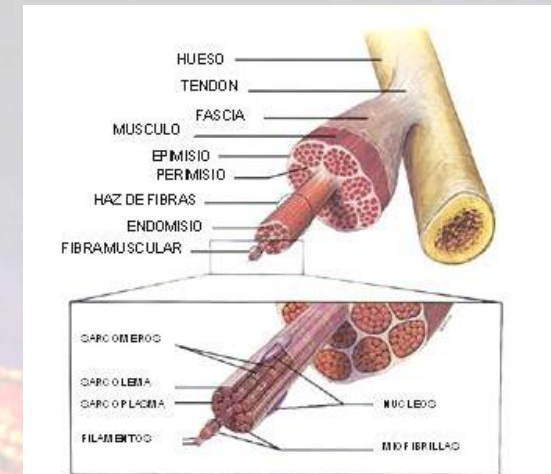
- H de C 1%

- MINERALES 1%



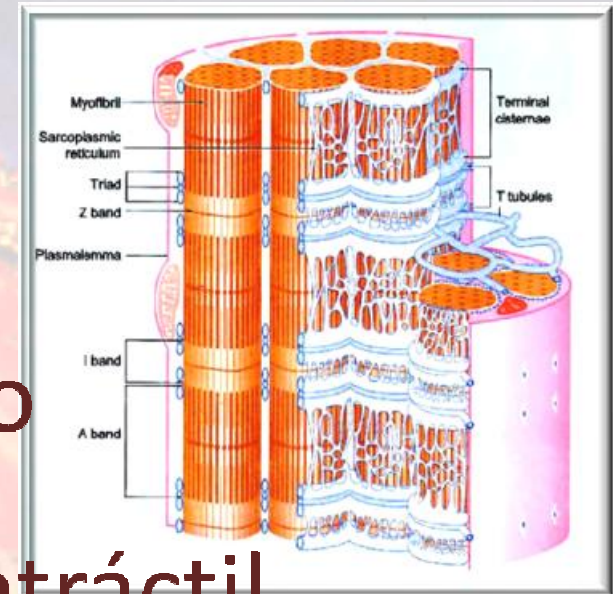
Proteínas del músculo

- Sarcoplásmicas
- Miofibrilares - 65/75% *proteínas musculares*
- Tejido Conectivo

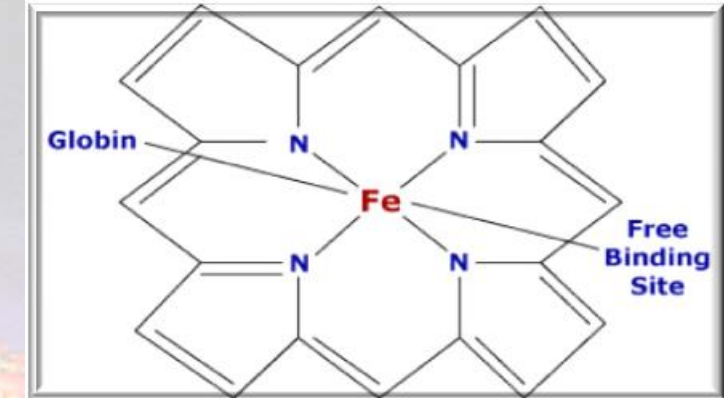
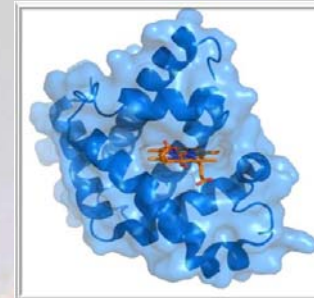


Proteínas Sarcoplásmicas

- *Enzimas del metabolismo*
- Proteínas no aparato contráctil
- *Mioglobina, hemoglobina, proteasas*



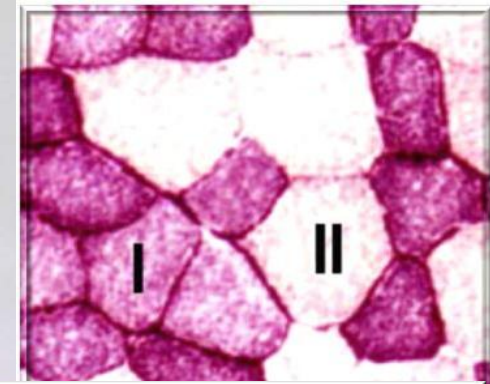
Mioglobina



- Pigmento carne fresca (*depósito oxígeno*)
- El contenido varía con la *edad*, la *especie* y el *tipo de fibra*

Age class	Myoglobin content	Species	Color	Myoglobin content
Veal	2 mg/g	Pork	Pink	2 mg/g
Calf	4 mg/g	Lamb	Light red	6 mg/g
Young beef	8 mg/g	Beef	Cherry red	8 mg/g
Old beef	18 mg/g			

Tipos de fibra



Tipo I – ST

contracción lenta

Rojas

Tipo II – FT

contracción rápida

Blancas

Pocas miofibrillas

Abundantes miofibrillas

Abundante mioglobina

Escasa mioglobina

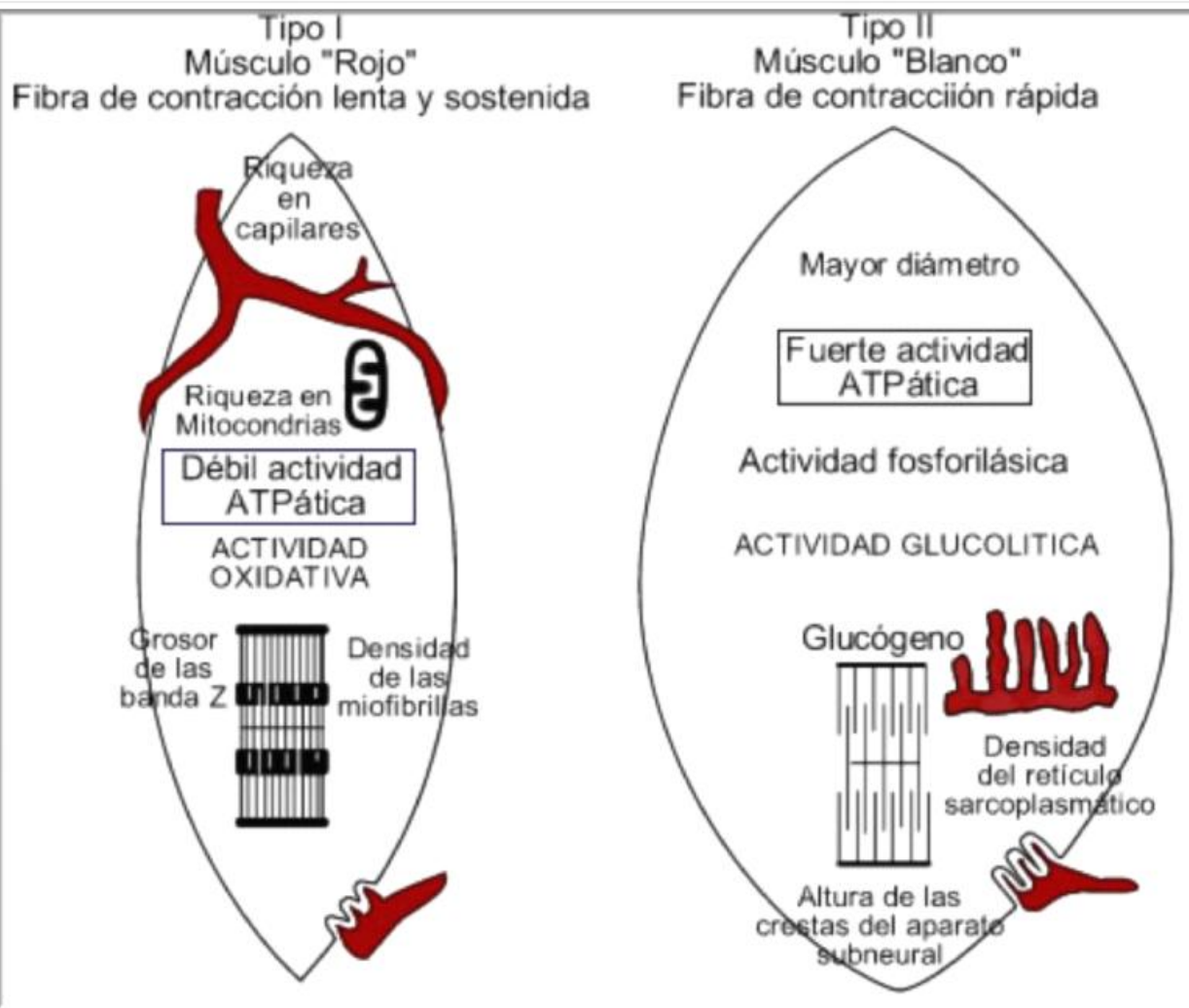
Extensor carpi radialis

12mgMb/g

Longissimus dorsi

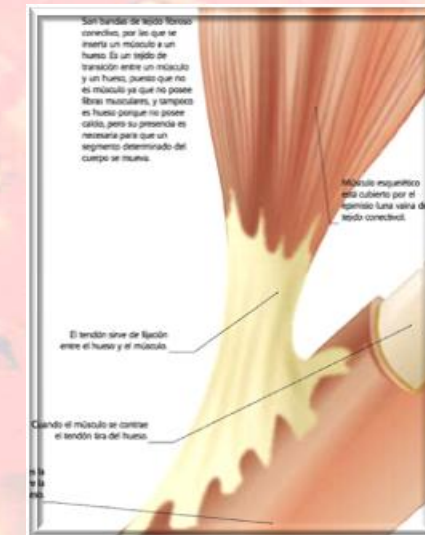
6mgMb/g

Tipos de fibra



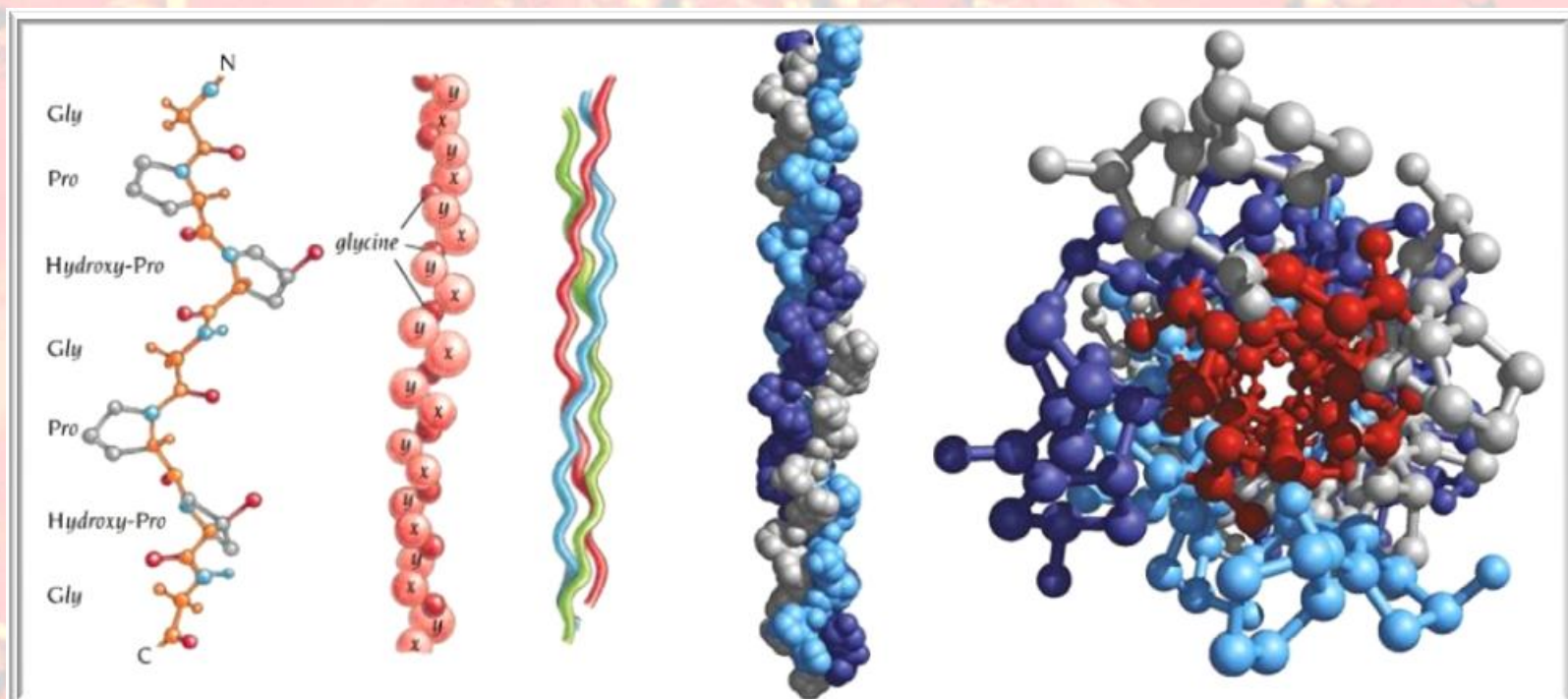
Proteínas del tejido conectivo

- Extracelulares – tendones, ligamentos
- Sintetizadas por Fibroblastos
 - Colágeno
 - Elastina
 - Otras
- Conexión músculo - hueso



Colágeno

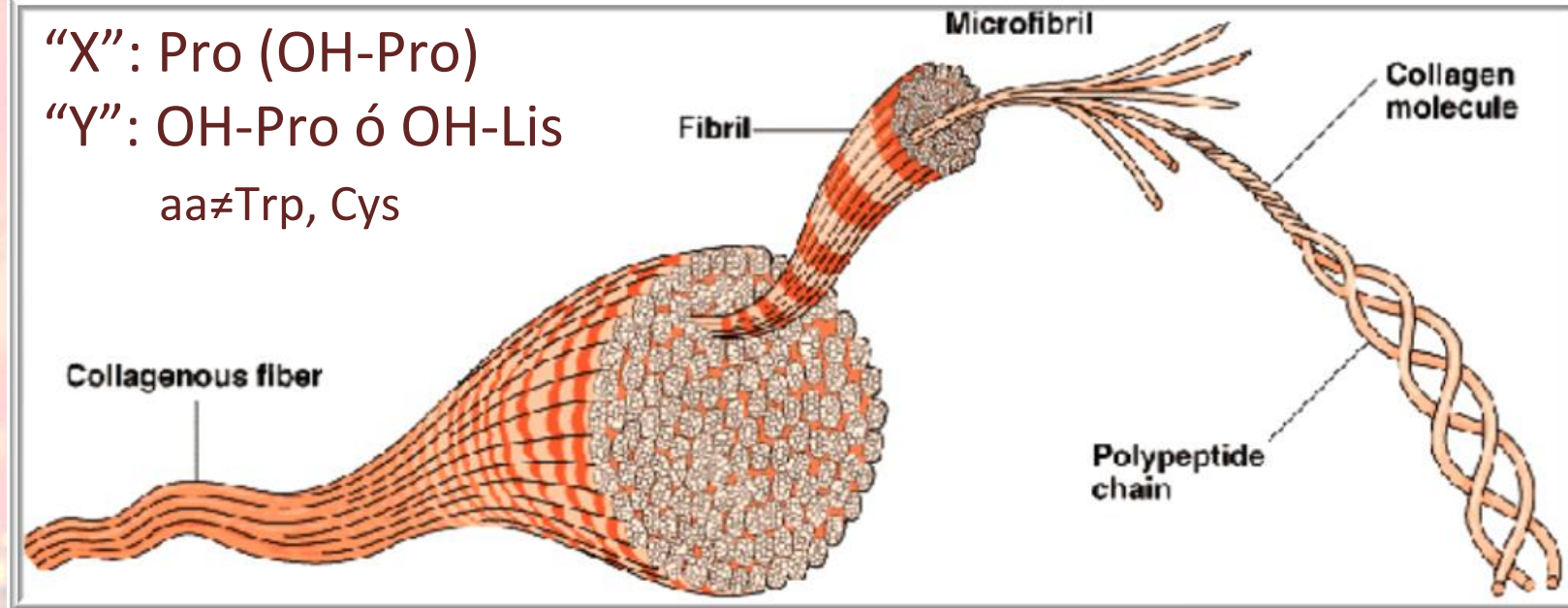
Proteína animal más abundante
en los huesos, piel (30%Gly; 25%OH-Pro e OH-Lis)



Colágeno

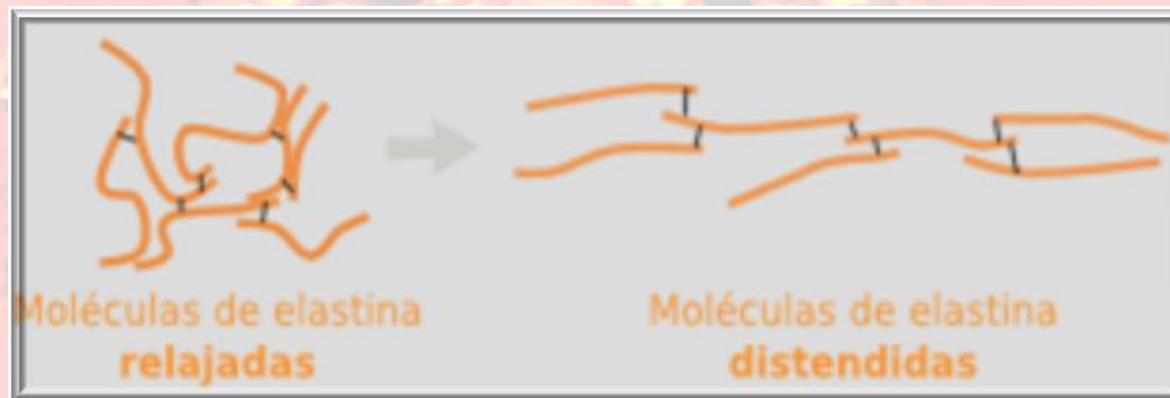
- 3 cadenas polipeptídicas alfa
- unidad: tropocolágeno
Cada cadena repite triplete Gly-X-Y

“X”: Pro (OH-Pro)
“Y”: OH-Pro ó OH-Lis
aa≠Trp, Cys



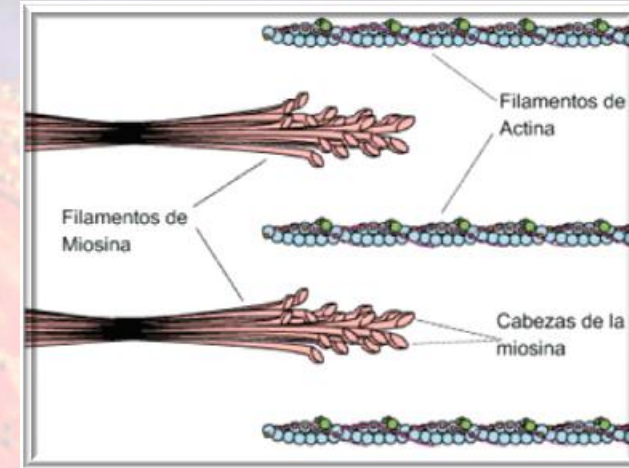
Elastina

- Elasticidad–deformación – tensión:
ligamentos, músculos, pared de vasos
- Gly , Ala , Val
- Insoluble, proteína fibrosa, mucha Gly



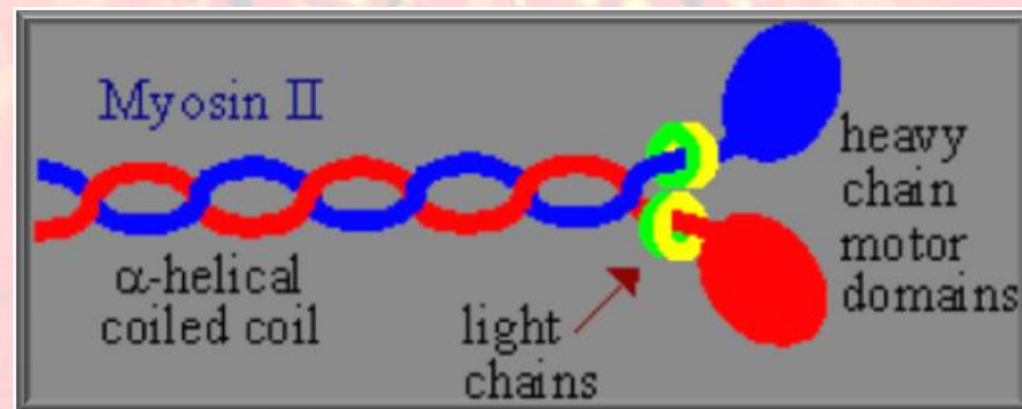
Proteínas miofibrilares

- Miofibrillas
- Sarcómero (2μ)
- Filamentos de Miosina
- Filamentos de Actina
 - Actinina, proteínas C, M, F, I, miomesina, desmina, Z, titina...



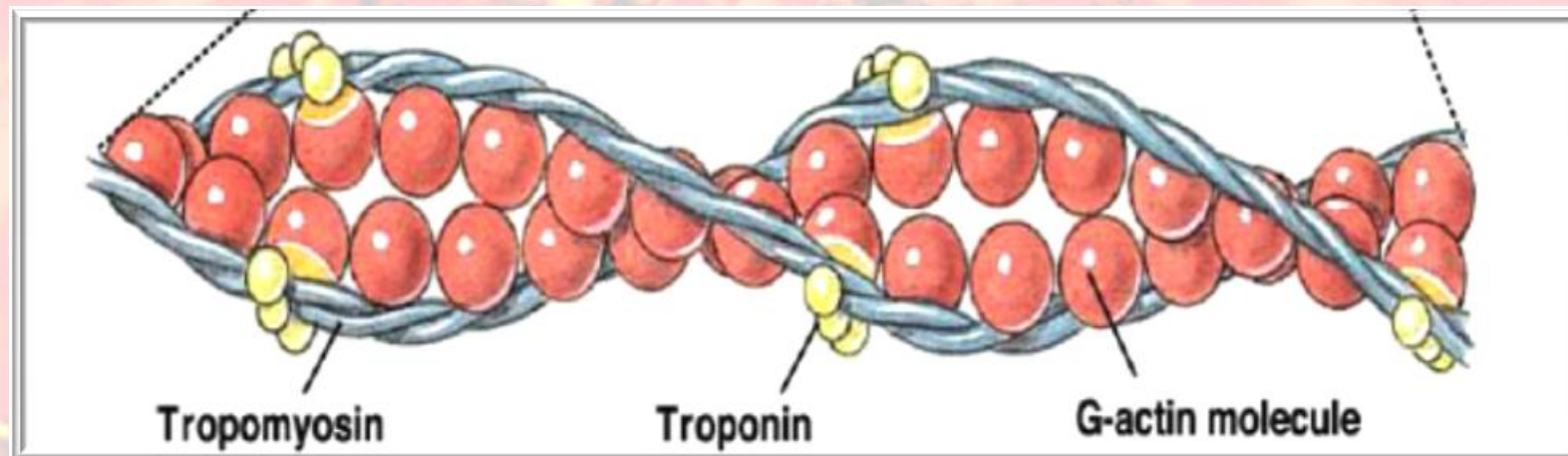
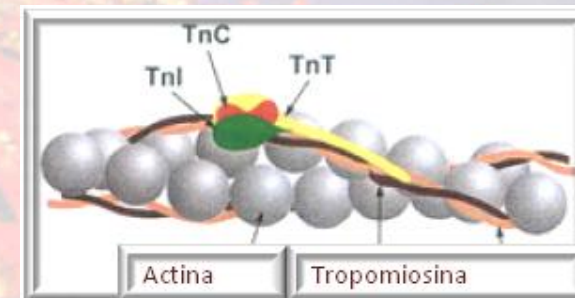
Filamentos de Miosina

Miosina: (160nm x 2nm) (PM: 480000)



Filamentos de Actina

- Actina
- Troponina
- Tropomiosina

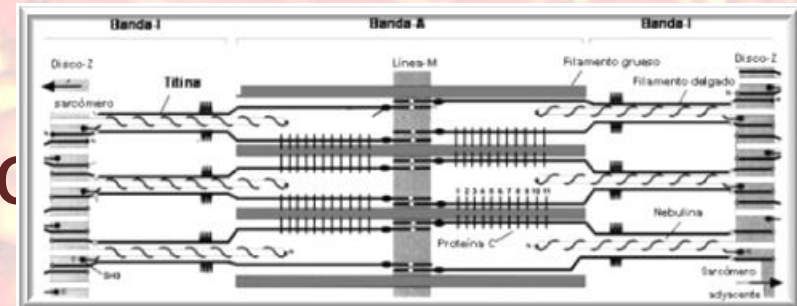


Actininas y proteínas menores

Proteínas menores:

M, banda M, sobre miosina
C

F asociada a miosina
I banda A



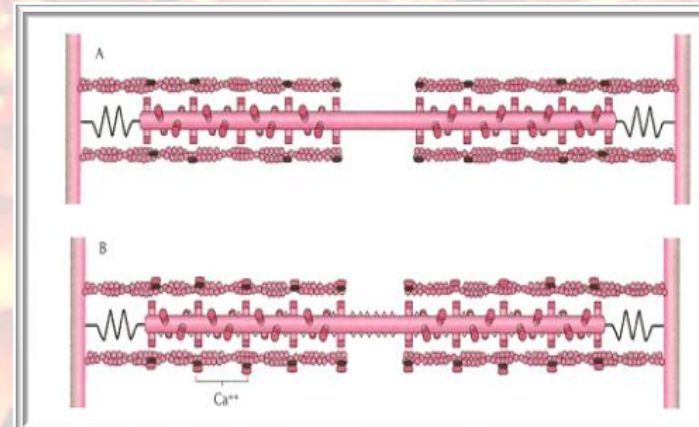
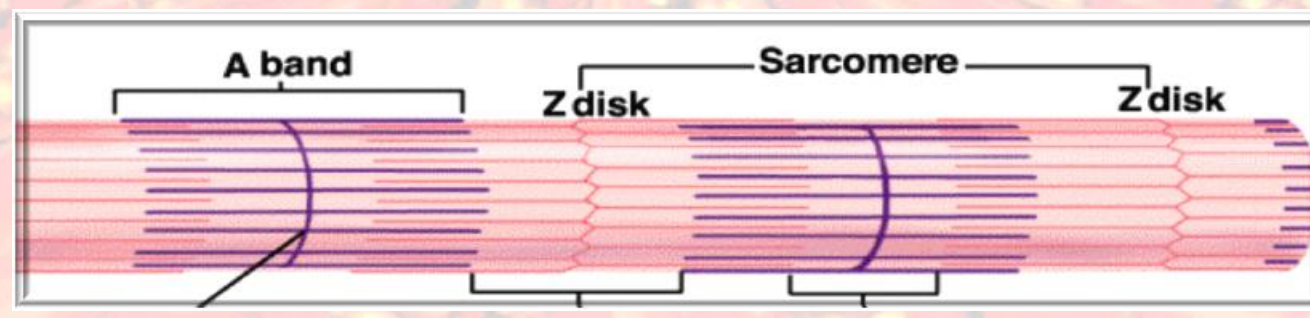
Proteínas del Citoesqueleto:

Conectina, Desmina, Z

Otras: Vimentina, Sinemina, Paranemina

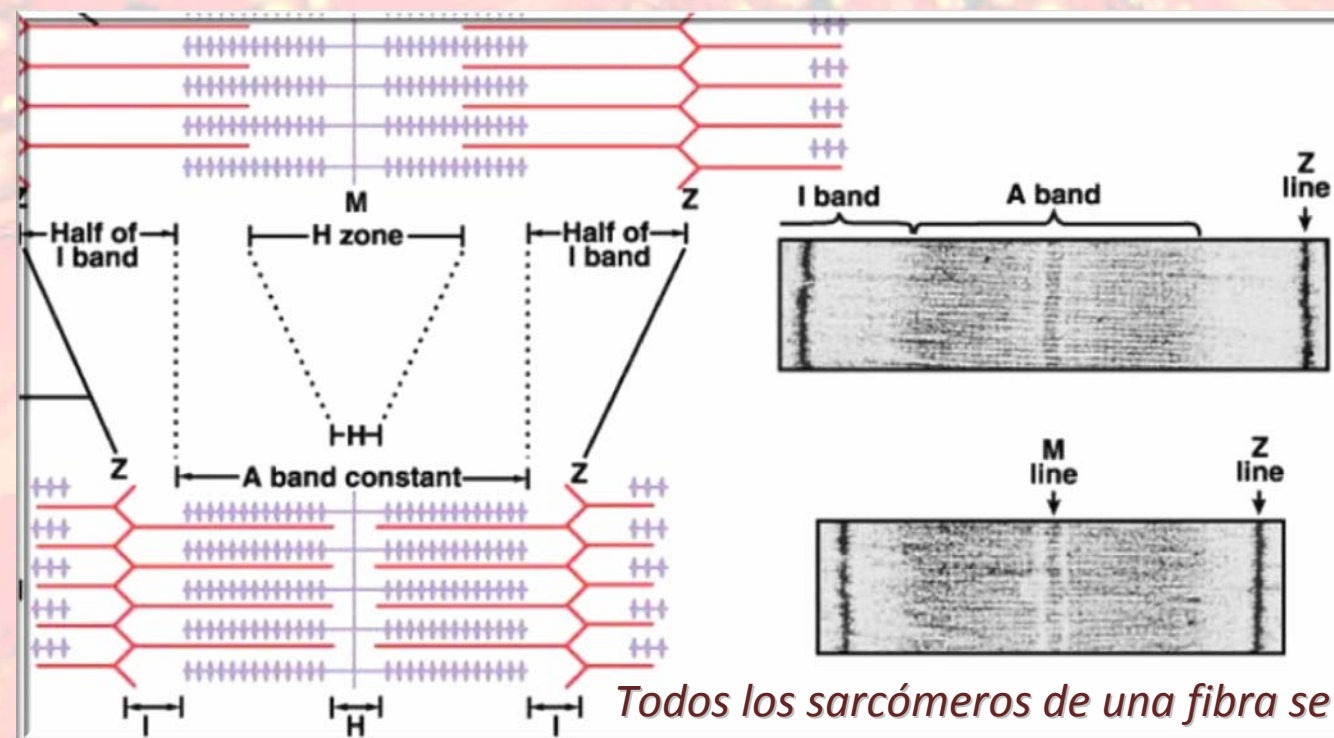
Estructura del sarcómero

El sarcómero es la unidad funcional del músculo

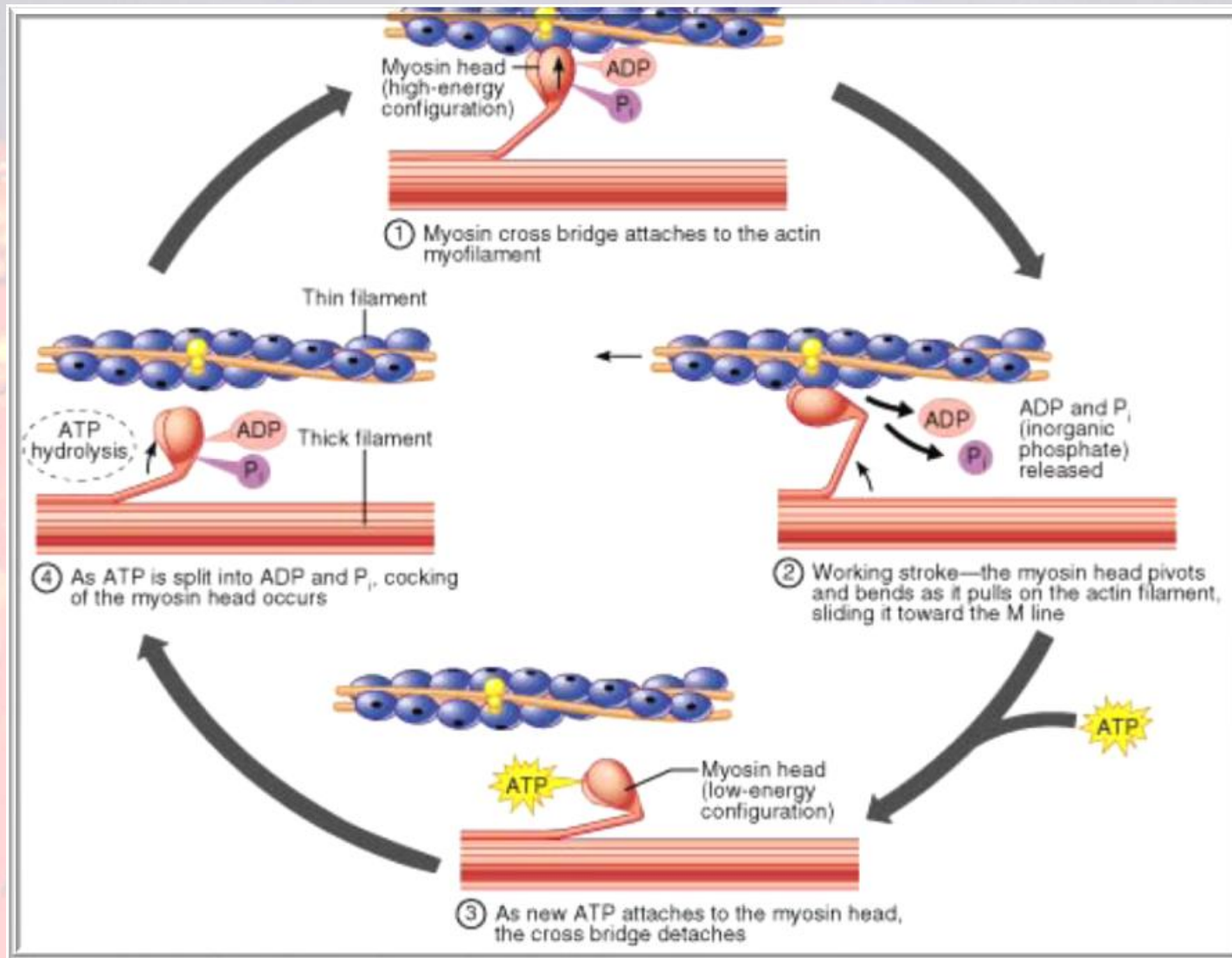


Estructura del sarcómero

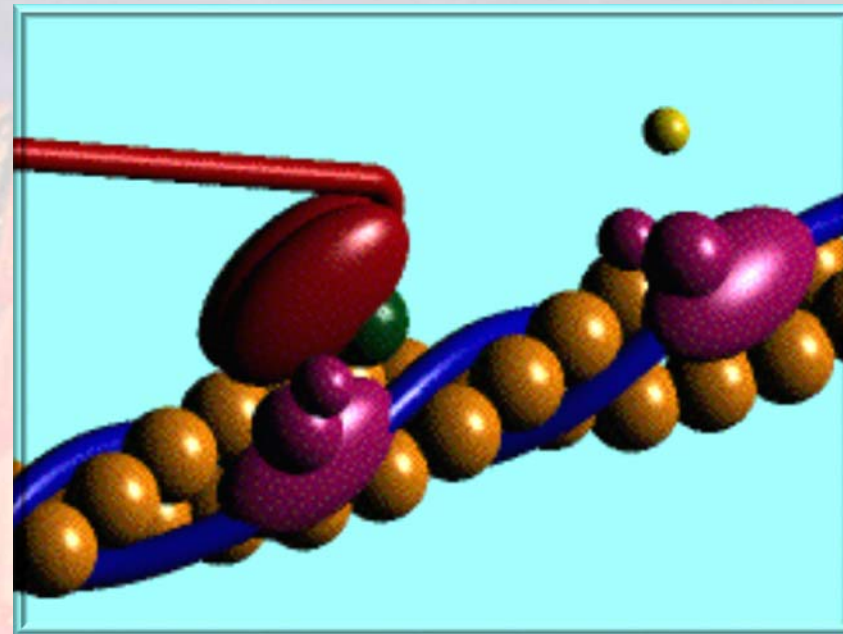
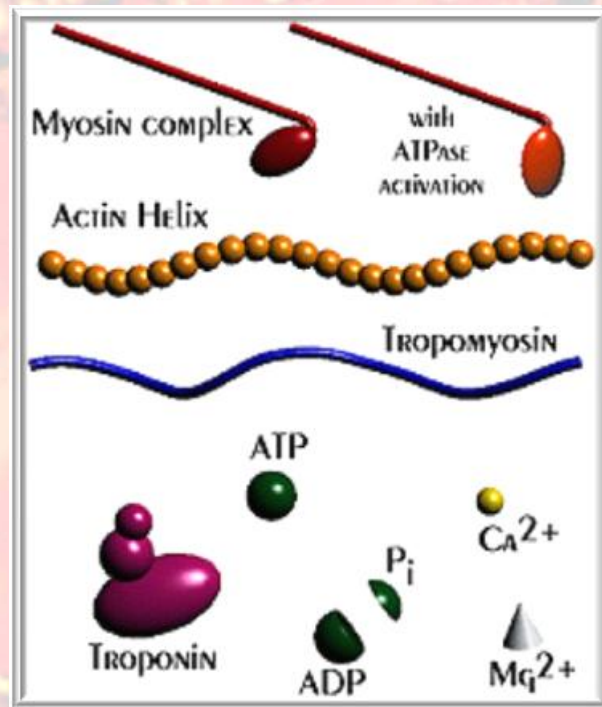
Los filamentos delgados se deslizan hacia el centro de la banda A tirando de las líneas Z a las que se anclan.



Contracción de fibras musculares



Contracción





Luego del sacrificio del animal,

la carne sufre varios procesos bioquímicos,

que afectan distintas características de la misma



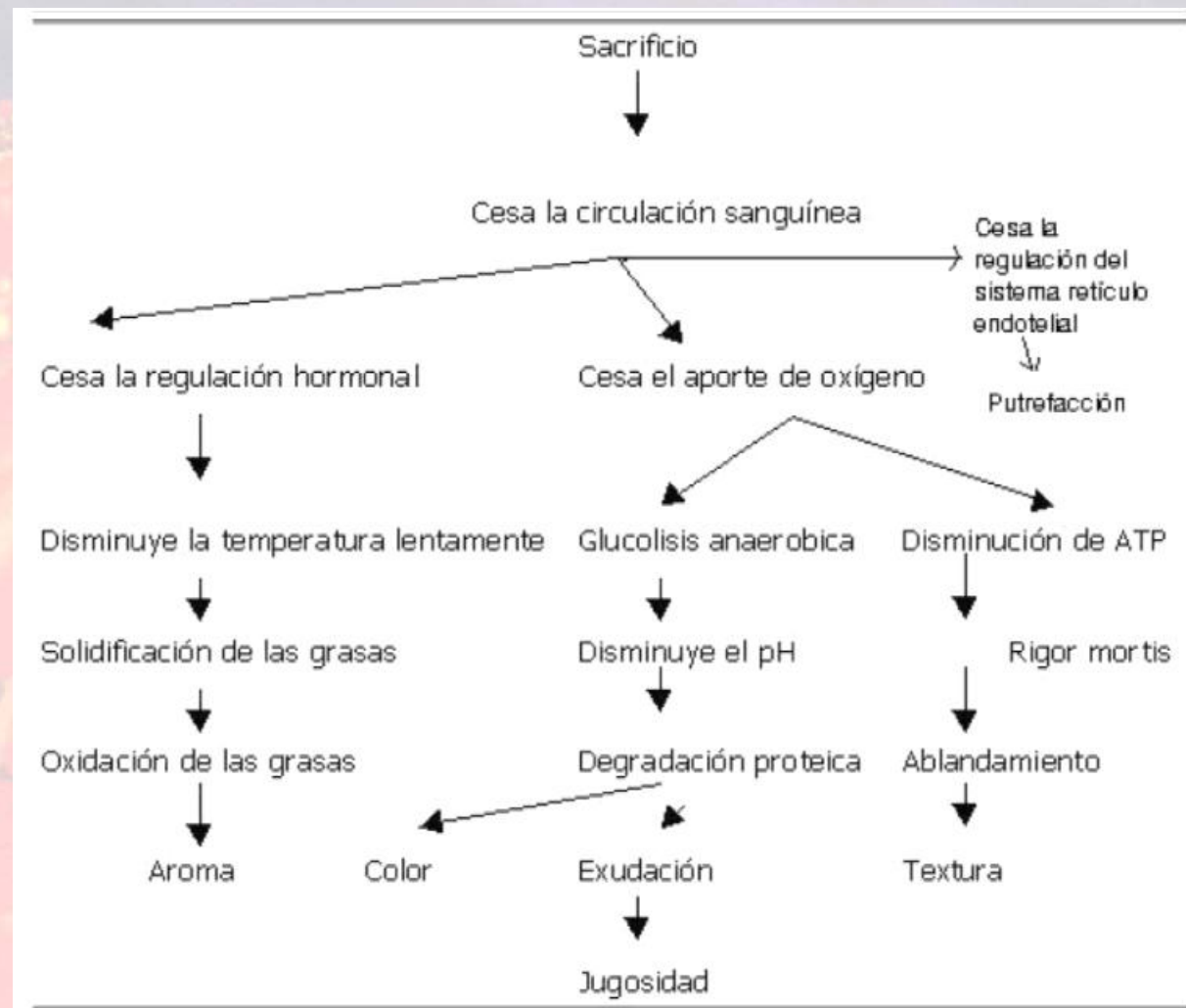
Fuentes de Energía-ATP

Creatina Fosfato

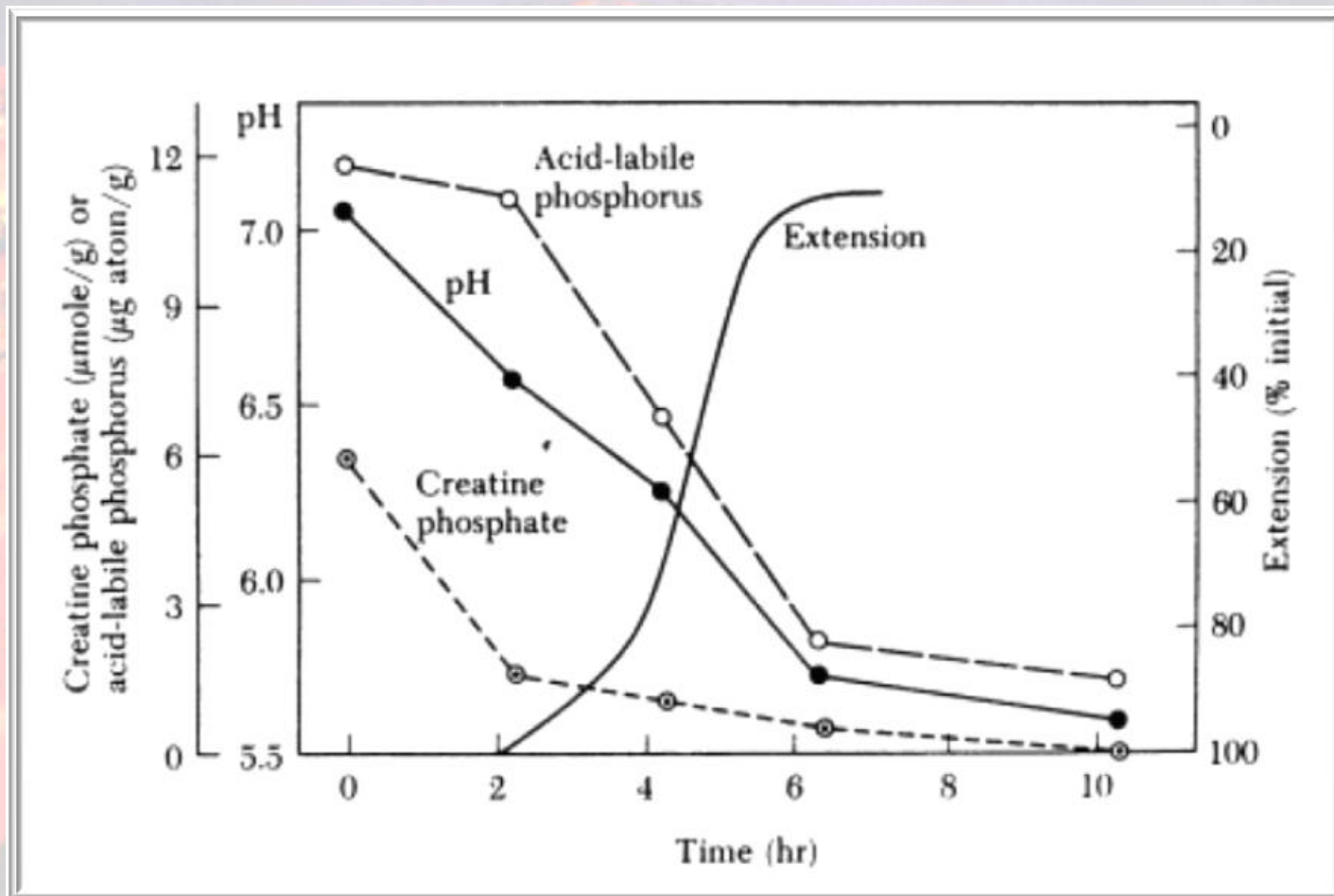
Glucosa



Cambios post mortem



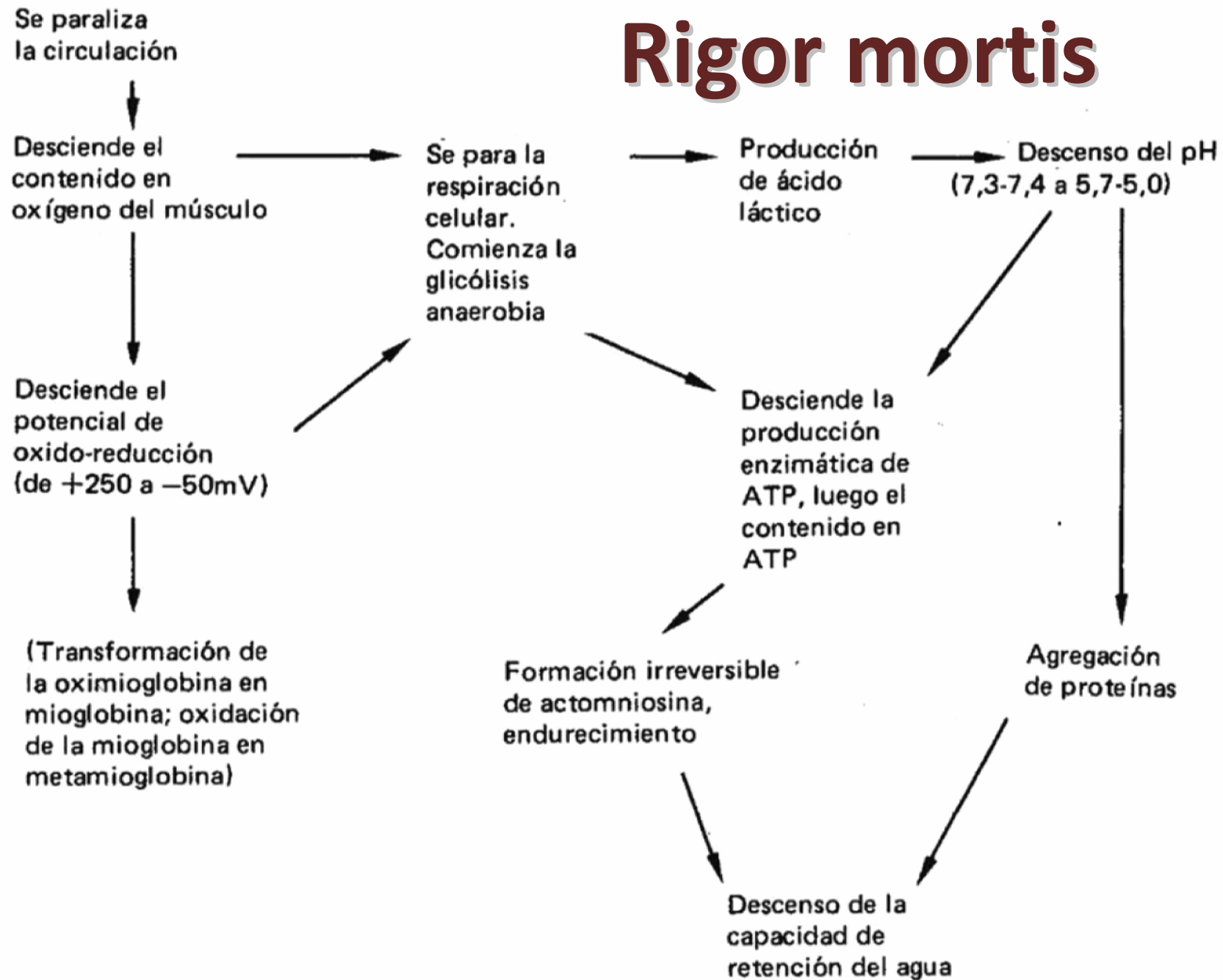
Procesos post mortem



Rigor mortis

- Cesa el aporte de oxígeno
- Cesa la fosforilación oxidativa y con ello el aporte de ATP aerobio
- Se activa la glucolisis y se acumula piruvato
- Desciende pH, inactiva E. metabólicas.
- Se agota ATP, actomiosina (irreversible)

Rigor mortis



Rigor mortis

Glucolisis Postmortem

Continúa hasta que las enzimas son inactivadas a pH 5.4-5.5; pl proteínas.

La velocidad de caída varía con la especie y con el tipo de músculo.

La velocidad de glucolisis postmortem aumenta al aumentar la temperatura externa por encima de la ambiental.

Rigor mortis

Glucolisis postmortem

diferentes músculos

diferente velocidad glucolisis

diferente velocidad caída de T°

Velocidad glucolisis mayor en
músculos que se enfrián lentamente

La aparición del RM va acompañada
por una disminución de la CRA

Rigor mortis

El tiempo depende de la T(°C)

Temperatura (°C)	Tiempo
-1,5	3-4 semanas
0	15 días
20	2 días
43	1 día

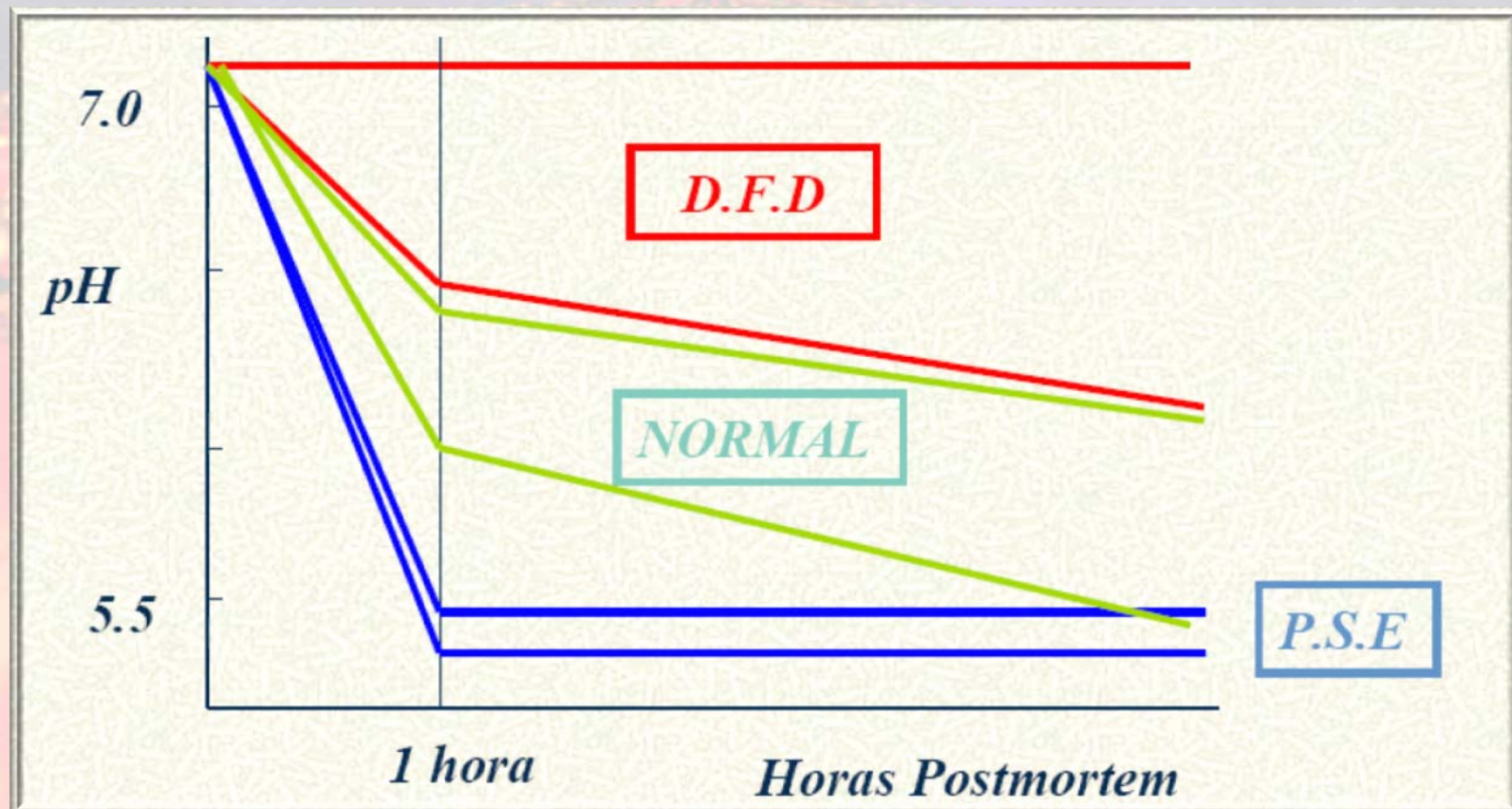
pasado el RM, comienza la maduración:
resolución del RM

Rigor mortis

Aumenta la dureza de la carne
El tiempo en que se produce varia

Especie	Tipo de Fibra	Stress prefaena
Bovinos 10-14h	F. Blancas el pH baja más rápido que en F. Rojas.	Reservas de glucógeno
Cerdos 4-8h		DFD o PSE
Pollos 2-4h		

Baja del pH *post mortem*



DFD: *Malas condiciones prefaena
*Agotamiento glucog., $pH_f > 6.0$
*Carne oscura, elevada CRA,
sensibles a microorganismos, difícil
conservación bajo refrigeración.

PSE: *pH muy bajo en la 1^{era}h
cuando la carne aún esta caliente.
*bajo rendimiento tecnológico.
altas mermas en productos

Procesos *post mortem*

Pre Rigor: (0-12h *pm*)

contracción de los músculos

salida parcial del agua

cambio de color

aspecto seco

Procesos *post mortem*

Pre Rigor: (0-12h pm)

Rigor – Mortis: (12-72h pm)

músculo rígido

pérdida de agua

oscurecimiento

mayor acidez

poco digerible

baja calidad y valor nutritivo

Procesos *post mortem*

Pre Rigor: (0-12h pm)

Rigor – Mortis: (12-72h pm)

*Maduración (72-*h pm)*



Procesos *post mortem*

- Sacrificio del animal
- Metabolismo O₂ a ~~O₂~~
- Glucógeno a Ácido láctico
- Baja pH 7 a 5,6
- Baja Creatina Fosfato y ATP
- Falta ATP para relajación, Actomiosina
- Rigor Mortis
- Proteólisis



Maduración de la carne

Combinación de transformaciones que se originan en el músculo de un animal de abasto, posterior al sacrificio y faenado, proporcionándole a la carne propiedades de *color*, *terneza*, desarrollo del *aroma* y cambios de *textura*

Maduración

"CARNE FRESCA" (*carne madurada o bien envejecida*)

terneza, nutrición, digestibilidad

sabor, aroma y textura (ventajas
nutricionales)

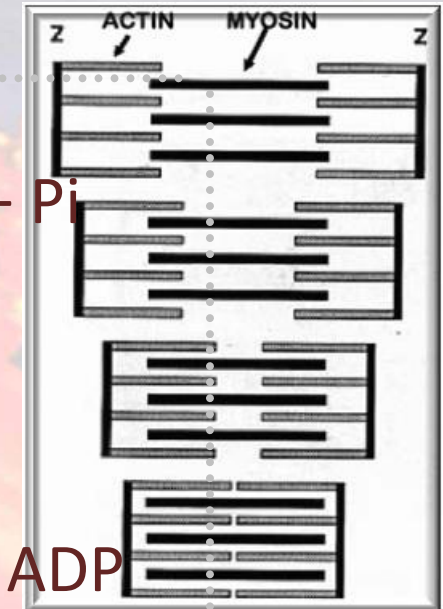
*PROCESOS
BIOQUÍMICOS QUE OCURREN
DURANTE LA MADURACIÓN DE
LA CARNE*



A close-up photograph of a red rose flower. The petals are a vibrant red color, and numerous yellow stamens are visible, protruding from the center of the flower. The background is blurred, making the rose stand out.

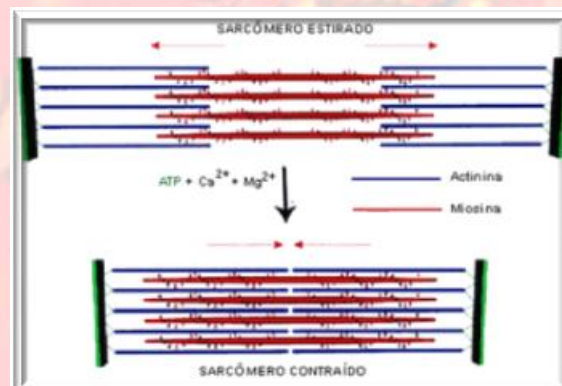
TERNEZA

Proceso de contracción



Primeras 24h *pm*

- dureza aumenta 71%
- acortamiento sarcómero 25%



Entre las 24 y 72h *pm*

- terneza aumenta
 - largo sarcómero no cambia
- la proteólisis *pm* es relevante en la determinación de la terneza

Maduración

Terneza Inicial Terneza Final

Largo sarcómero

Tejido Conectivo

Grasa Intramuscular

Grado de Proteólisis

*Diferencias entre terneza final e inicial
“tiempo de almacenamiento”*

Maduración

(tiernización *pm*)

- Degradación proteínas miofibrilares
- Acción sistemas enzimáticos
- Desnat. tejido conect. intram.

La magnitud de la proteólisis *pm* es el mayor responsable de la variación de la terneza de la carne

Sistemas enzimáticos

Proteínas miofibrilares

- Catepsinas lisosomales
- Ubiquitina proteosomal
- Enzimas activadas por Ca

(calpaínas/ calpastatina)

Proteínas del tejido conectivo

- Metalo-proteinasas de M.E.

Familia de la calpaínas

Calpain	Pseudonyms	Tissue Type
Calpain 1	CAPN1, μ -calpain	Ubiquitous
Calpain 2	CAPN2, m-calpain	Ubiquitous
Calpain 3	CAPN3, nCL-1, p94	Skeletal muscle, lens, retina
Calpain 5	htra3, nCL-3	Ubiquitous (high in colon, small intestine and testis)
Calpain 6	CAPNX, Calpamodulin	Placenta
Calpain 7	palBH	Ubiquitous
Calpain 8	nCL-2	Stomach mucosa
Calpain 9	nCL-4	Digestive track
Calpain 10	CAPN10	Ubiquitous
Calpain 11	-	Testis
Calpain 12	-	Ubiquitous (High in hair follicle)
Calpain 13	-	Testis/Lung
Calpain 14	-	Ubiquitous
Calpain 15	Sol H	Ubiquitous
Calpain Small Subunit 1	CAPN4	Ubiquitous
Calpain Small Subunit 2	-	N/A

Enzimas activadas por calcio

(cys-proteasas)

Proteínas endógenas del músculo:

Calp I, Calp II, Calpastatina

Isoformas ubicuas: μ -Calp. y m -Calp.
y otras específicas de tejido

(p94 ó Calp III en músculo esquelét.)

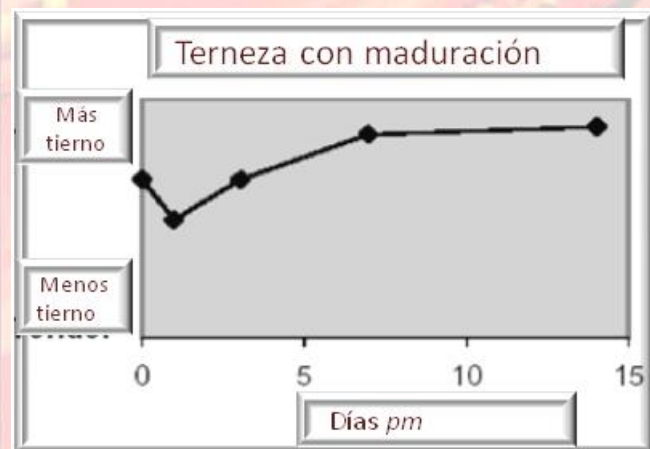
Asociaciones entre terneza y nivel de
expresión del gen de p94

*(escasa información sobre el rol de p94 en la
proteólisis pm)*

Degradación de proteínas miofibrilares

Comienza 12 h *pm* ($[Ca^{2+}]$ intracel.)

La terneza aumenta 24 y 29% a los 10 y 14 días *pm* respectivamente



*aumento rápido
10 días

* aumento gradual, hasta 56% del original a los 35 días *p.m.*

Degradación de proteínas miofibrilares

3-4 días *pm* => degradación de proteínas

- Intramiofibrilares
- Intermiofibrilares
- Costámeras (miofibrillas-sarcolema)

Degradación de proteínas miofibrilares

A nivel de disco Z

- sin cambios antes de 16 días pm
(degradación en banda I, cerca de disco Z)

Degradación de proteínas miofibrilares

A nivel de costámeras

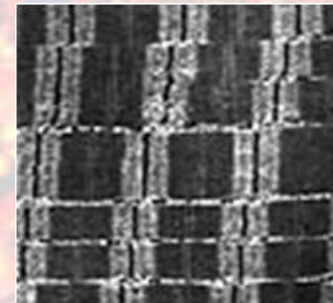
- vinculina degradada por calp. (24h pm)
- desmina y troponina T (24 - 72h pm)
- distrofina (24h pm), desaparece 6d. pm
- titina y nebulina (72h pm)

La proteólisis de titina y nebulina explica aumento de fragilidad de la banda I

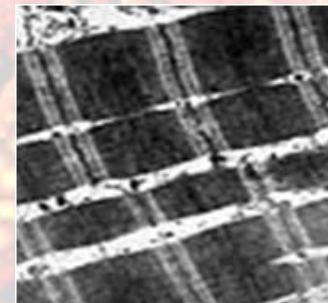
Desnaturalización tejido conectivo

- 28d. *pm* (4°C) degrada proteoglicano asociado a colágeno (β -glucuronidasa), siendo susceptible a (MMPs)
 - $[\text{Ca}^{2+}] = 0,1\text{mM}$ provoca destrucción de perimisio y endomisio
- MMPs:* *colagenasas* (MMP-1 y MMP-13),
gelatinasa (MMP-2 ó MMP-9)
factores de activación / inhibición

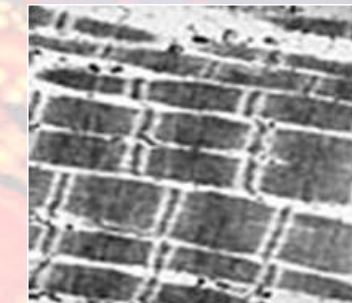
Micrografía electrónica



1 h pm
miofibrillas intactas
bien conservadas



2 días pm
membranas
celulares dañadas



7 días pm
gran cantidad de
membranas
celulares dañadas

Maduración

Proceso por el cual el músculo se va ablandando y se mejora la retención de agua.

15 días a 0°C - 2 días a 20°C

La maduración no es el proceso contrario al que origina la rigidez.

Maduración

Colágeno no sufre modificaciones importantes.

Ablandamiento debido a calpaínas I y II, se hacen mas proteolíticas a medida que baja el pH ya que su inhibidor (calpastatina) no actúa, al final se autolisan.

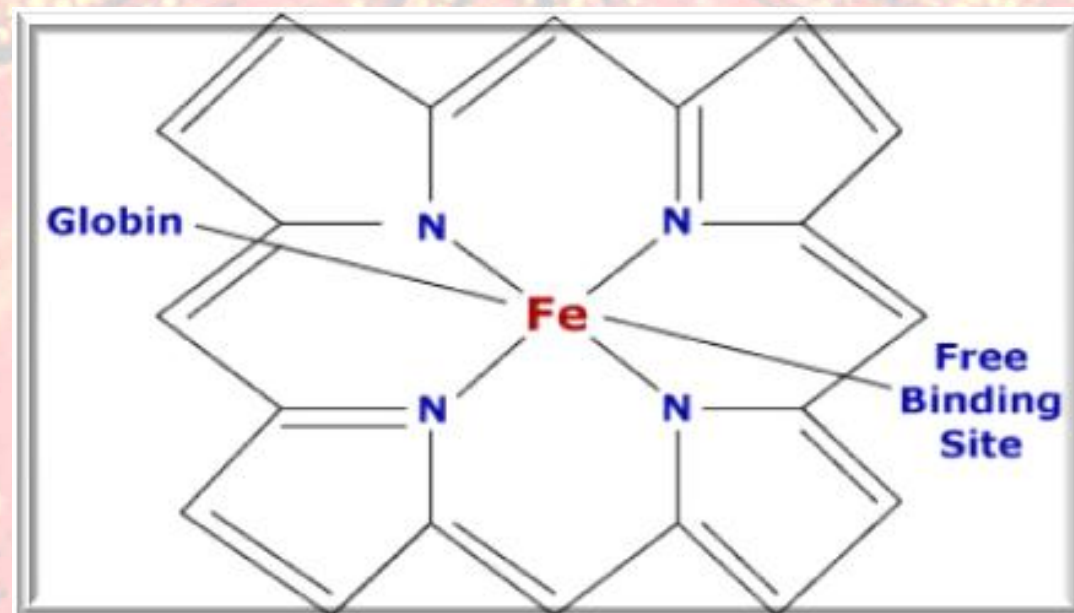
Catepsinas B,D,H y L (lisosomales)

L importante (actomiosina y troponinas)

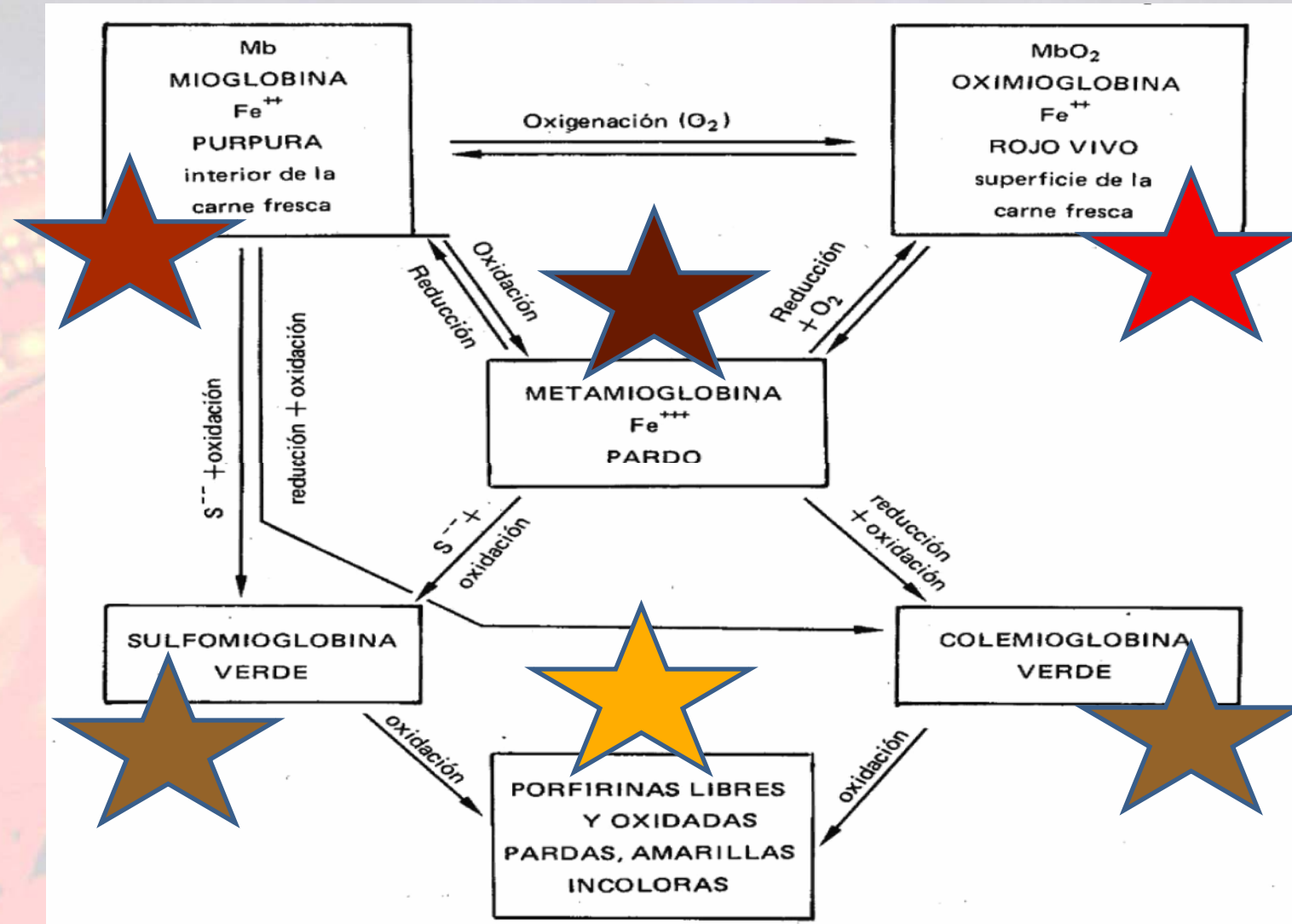
A close-up photograph of a red rose flower. The petals are a vibrant red color, and numerous yellow stamens are visible, protruding from the center of the flower. The background is blurred, making the flower stand out.

COLOR

Color: oxidación de Mb.



Transformación de Mioglobina



Transformación de Mioglobina

Bonds	Compound	Color	Name
Fe ⁺⁺ Ferrous <i>(covalent)</i>	:H ₂ O	Purple	Reduced myoglobin
	:O ₂	Red	Oxymyoglobin
	:NO	Cured pink	Nitric oxide myoglobin
	:CO	Red	Carboxymyoglobin
Fe ⁺⁺⁺ Ferric <i>(ionic)</i>	-CN	Red	Cyanmetmyoglobin
	-OH	Brown	Metmyoglobin
	-SH	Green	Sulfmyoglobin
	-H ₂ O ₂	Green	Choleglobin



SABOR

Maduración

Textura: Incremento CRA (exud. jugo)

Color: oxid. Mb.

Aroma: hipoxantina, (en el tpo. off flavor); enranciamiento de grasas

Cambios químicos

ADP resultante desamina y da IMP,
se desfosforila y da Inosina.

La Ribosa se separa de ésta y se
forma la Hipoxantina.

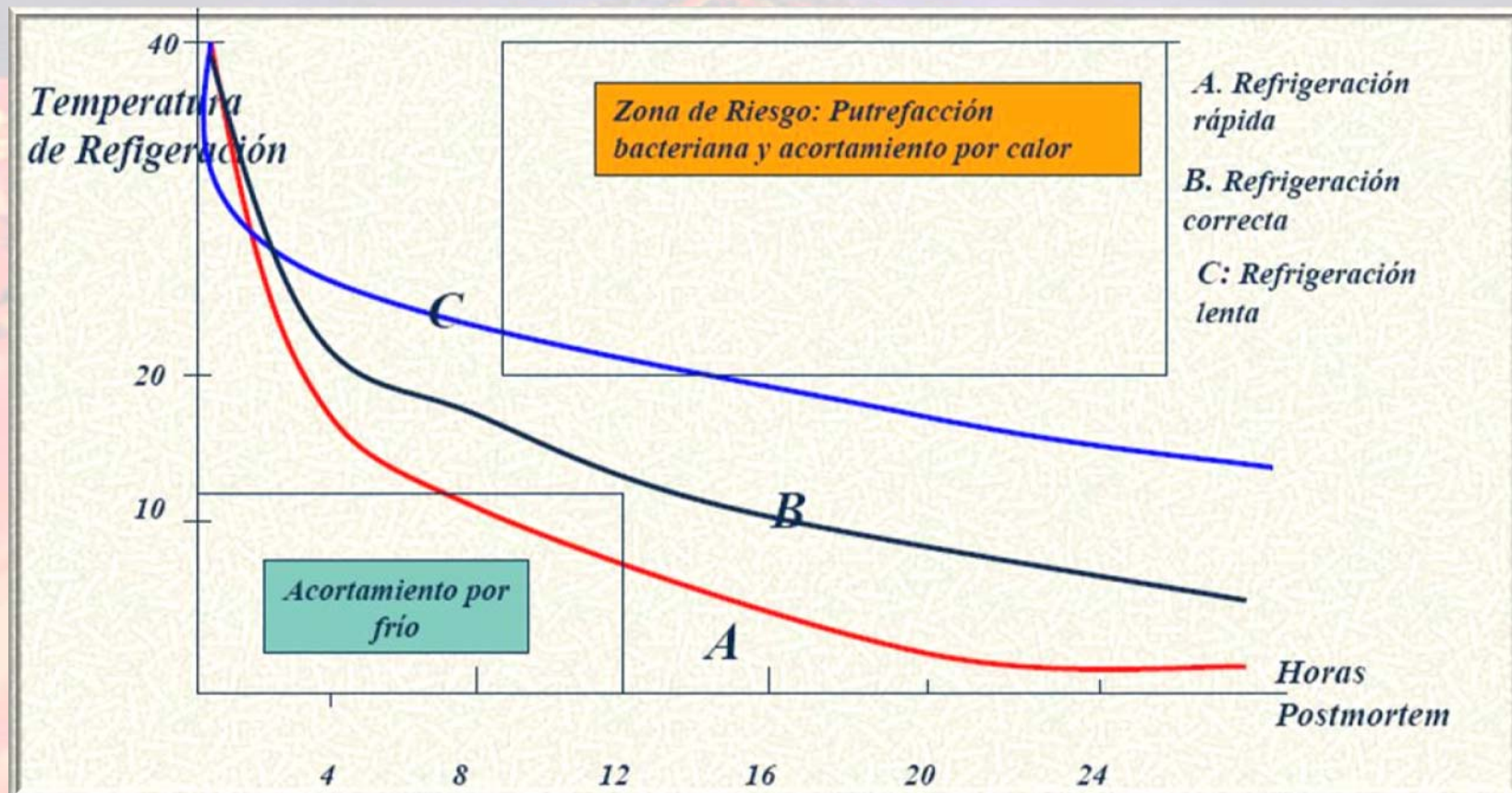
Liberación de amoníaco.



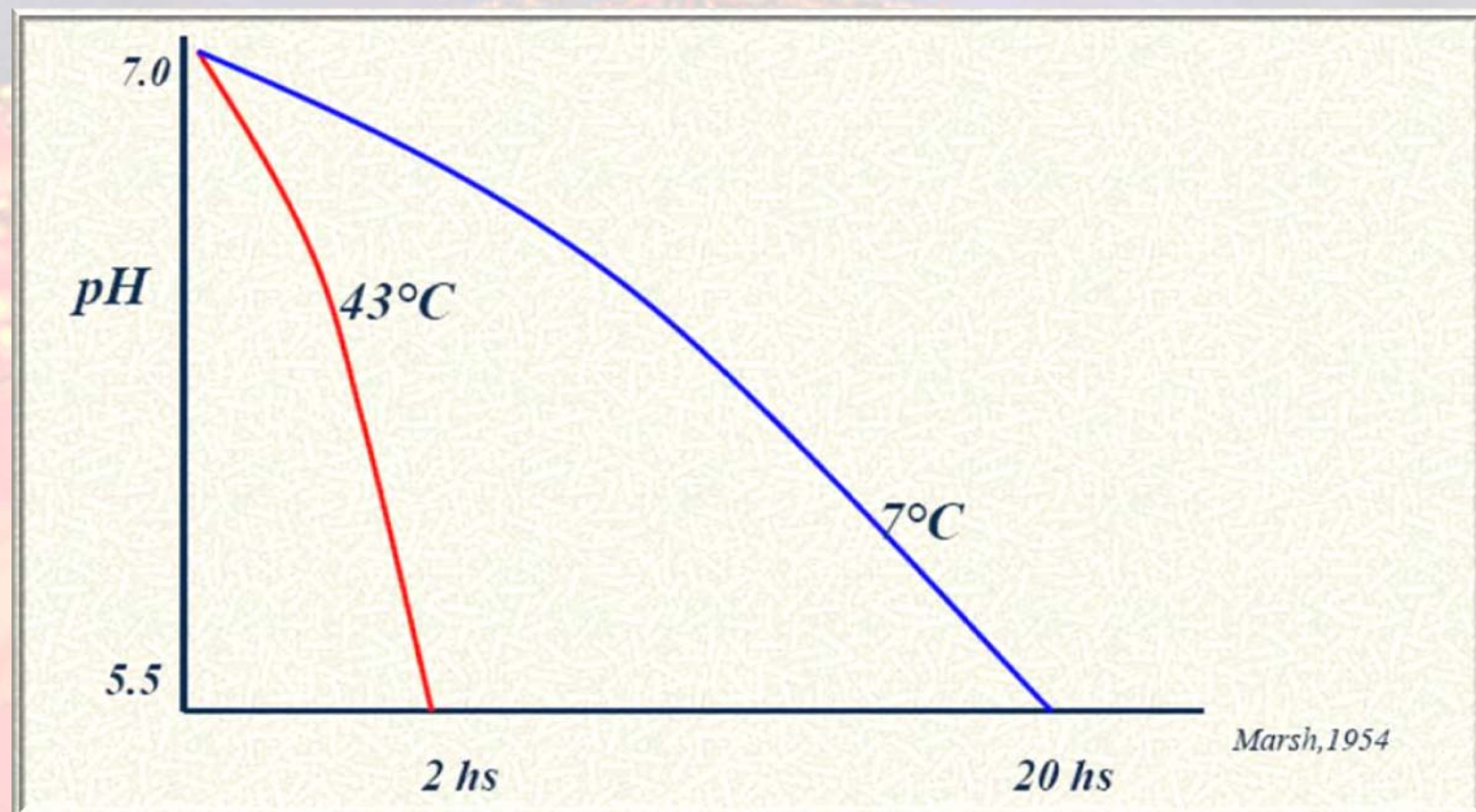
Monitoreo de la maduración

- Actividad enzimática Calp./Calpast.
- Microscopía miofibrillas
- Resistencia al corte (WB)
- Electroforesis proteínas miofibrilares
- Aminoácidos libres, Ác. Glutámico
- Perfil lipídico- Compuestos volátiles
- Color

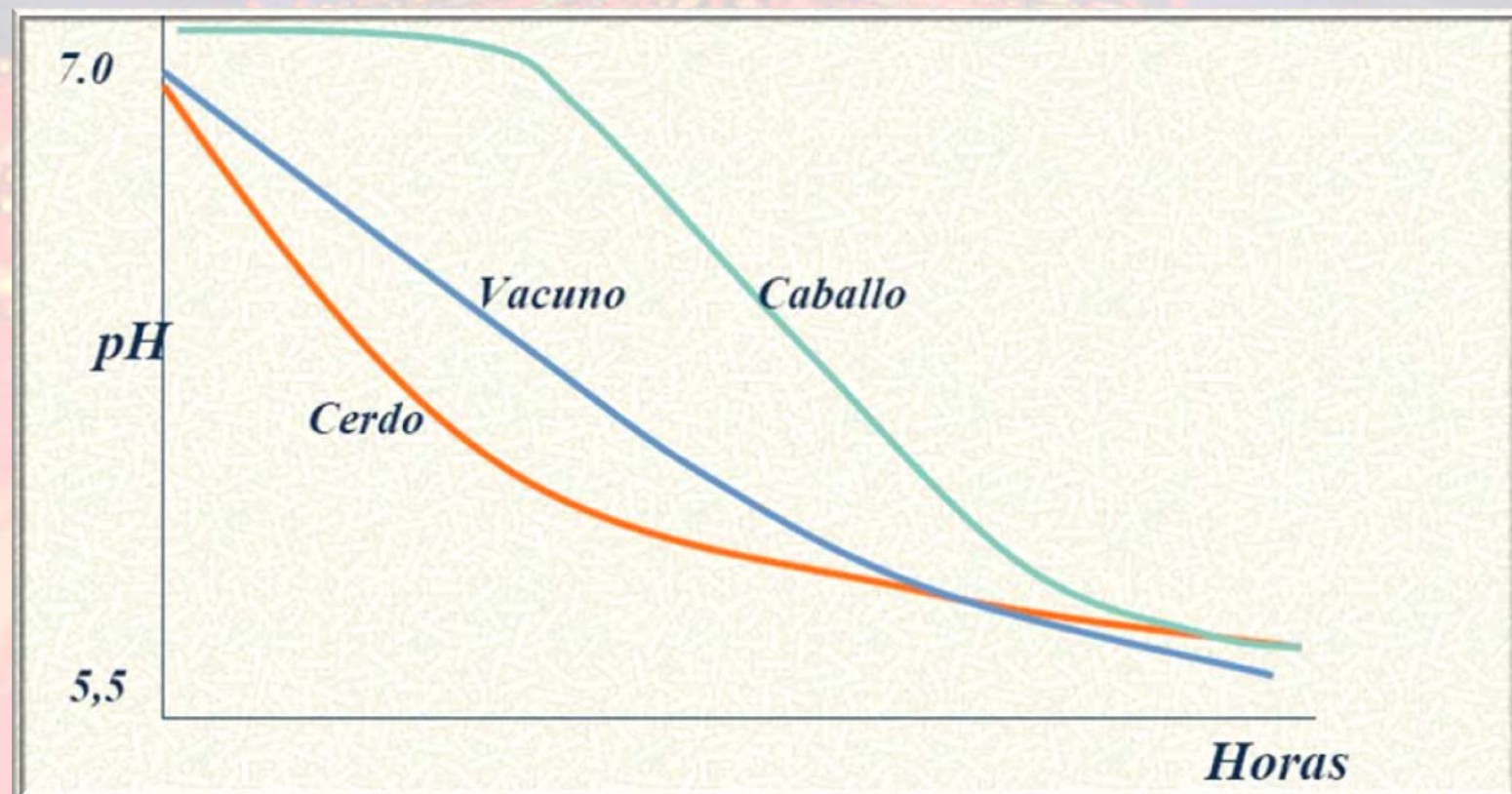
Acortamiento por frio



Velocidad caída de pH según T°C



Efecto especie en la caída del pH



Estimulación eléctrica

Aplicación de corriente eléctrica, favorece el sangrado, acelerar R.M., evitándose contracción por frío.

Alto voltaje (300-700 V), antes de 30'pm (actúa directamente sobre los músculos)

Bajo voltaje (80-100 V) sangrado (estimula el sistema nervioso)

Estimulación eléctrica

Descarga eléctrica → contracción muscular, consumo ATP y glucógeno, se acelera la glucólisis anaerobia, baja pH, se acelera el RM.

Permite enfriamiento rápido (2h pm)
pH baja a 6-6,3 en la 1^{era} hora.

Pérdida de jugo, color más pálido, carne más tierna, menor contracción en el rigor.

Estimulación eléctrica

- Prevención del cold-shortening (acelerada glucólisis; RM a altas T)
- Actividad proteolítica acelerada (Ca^{++})
- Ruptura de estructura fibrilar por contracciones extremas y liberación de catepsinas.

Tenderstretching

- Músculos del cuarto trasero más estirados

Tendercut

- Peso de la canal, estiramiento muscular

Aumento de la terneza *pm*

Métodos mecánicos (picado)

Marinación (vinagre, vino, sales, fosfatos)

Enzimas

CaCl_2

Altas presiones

Combinaciones

ITA (*Instituto Tecnología de Alimentos*) - INTA



Instituto
Tecnología
de
Alimentos

©2009 Google

© 2009 DMapas
Image © 2009 DigitalGlobe
© 2009 Inav/Geosistemas SRL

Fechas de imágenes: 5 de Feb. de 2008 34°35'50.73"S 58°41'09.26"O elev. 13 m

Alt. ojo 252 m

ITA (*Instituto Tecnología de Alimentos*) - INTA

“Oxidative stability of argentine beef during 19d
of storage: supra-nutritional supplementation
with VitE on grain and pasture production”



Pensel *et al.* ICoMST-2000

Dietas diferentes: pastura vs. suplemento VitE
 α -toco., β -carot., TBA, color (0, 30, 60, 90d vacío)
Pastura + suplemento: retarda oxidación lípidos

**“Argentine beef: lipid and protein oxidation
and its relationship with natural antioxidants
during refrigerated retail display”**



Insani *et al.* ICoMST-2000

Dietas diferentes: pastura vs. feed lot
 α -toco, β -carot, TBA, protein oxidation,(1, 3, 5, 7, 9d
bandeja)

Pastura- estabilidad oxidación lipídica/proteica

“Antioxidants enzymes activity in *Psoas major* beef muscle from different production system”



Descalzo *et al.* ICoMST-2000

Dietas diferentes: pastura vs. feed lot
SOD, CAT, GPx, (1, 3, 5, 7, 9d bandeja)
Feed lot- Alta CAT, GPx- no reduce oxidación
GPx sensible a las condiciones de oxidación

ITA (*Instituto Tecnología de Alimentos*) - INTA

“Effect of VitE-supplemented feed regimen on beef odour assessed by a coducted polymer sensors based electronic nose”



Grigioni *et al.* ICoMST-2000

Dietas diferentes: pastura vs. Suplemento VitE
Olor por Nariz Electronica (carne fresca)
La dieta es diferenciada

ITA (*Instituto Tecnología de Alimentos*) - INTA

**“Shelf life evaluation of refrigerated vacuum
packaged beef kept for extended storage”**



Rodriguez *et al.* ICoMST-2000

pH, off odors, color, TBArS, (0, 30, 60, 90d vacío)

Todos los parametros aceptables hasta 90 d.

ITA (*Instituto Tecnología de Alimentos*) - INTA

**“Color stability and tenderness relationship in
ten retail beef cuts”**

Picallo *et al.* ICoMST-2000

Color objetivo, WBS (carne fresca)
Correlación entre ambos parametros

“A review of natural antioxidants and their effects on oxidative status, odor and quality of fresh beef produced in Argentina”

Descalzo *et al.* MSci-2008

Las muestras de pastos poseen niveles más altos de α -toco., β -carot., ácido ascórbico y glutatión que las muestras de corrales. Estos compuestos retrasan la oxidación de lípidos y proteínas en la carne fresca y almacenada, y preservan el color y el olor de la carne.

ITA (*Instituto Tecnología de Alimentos*) - INTA

“Oxidative stability and its relationship with natural antioxidants during refrigerated retail display of beef produced in Argentina”

Insani *et al.* MSci-2008

pH, off odors, color, TBArS, (1, 3, 5, 7, 9d bandeja)

SOD, CAT estables durante el almacenamiento

GPx disminuyó

Nivel inicial superior y acción sinérgica de α -toco. y β -carot.
mejoran la estabilidad oxidativa y el color de la carne.

Muchas gracias !!!!!



Dra. Adriana Pazos

apazos@cnia.inta.gov.ar

<http://www.inta.gov.ar/>



Darío Pighín

Adriana Descalzo

Teresa García

Martín Irurueta

Gabriela Grigioni

Fernando Carduza

Leandro Langman

Marina Insani

Luciana Rossetti

Sergio Vaudagna

Dra. Adriana Pazos- INTA